

昭和59年1月

## 原 著

# 濃度相関マトリックスによる 奥飛驒温泉の地球化学的研究

川本 博<sup>\*1</sup>, 阿部修治<sup>\*2</sup>, 松沢克典<sup>\*3</sup>下澤秀夫<sup>\*4</sup>, 飯島南海夫<sup>\*5</sup><sup>\*1</sup>群馬大学工学部, <sup>\*2</sup>東京農工大学工学部, <sup>\*3</sup>長野県衛生公害研究所<sup>\*4</sup>長野高等学校, <sup>\*5</sup>信州大学教育学部

(昭和58年9月12日受理)

## 1. 緒 言

温泉研究に濃度相関マトリックスを導入したのは、綿抜と高野であるが、彼らは源泉群の相互関係を論ずるのにその手法が有用であることを示した<sup>1)</sup>。その後、筆者らは同法を下呂温泉の研究に応用したが、その適用には問題点と限界があることを示唆した<sup>2)</sup>。しかし濃度相関マトリックスの計算に採用する泉水成分の種類の選択が適當ならば、同法によって得られる知見は、地質学的研究結果と関連するので、地球化学的手段としてのその有用性は十分である。本報告の対象とした奥飛驒の地質は、秋山による報告がある<sup>3)</sup>。また当地方の温泉の化学的研究が坂田らによって発表されているので<sup>4)</sup>、本研究の結果と対比検討するのに供した。

## 2. 分析及び結果

1980年7月30日、31日、第1図に示した各地点の源泉で温泉水を採取した。 $\text{Fe}^{2+}$ の定量は、現地にて採水直後に1, 10-フェナントロリンを加えて発色させる吸光光度法によった。他の諸成分の分析方法は、前報と同じである<sup>2)</sup>。得られた分析結果は、まとめて表1に示した。ヒ素は $\Sigma\text{As}$ で示したが、温泉水中のそれは主として $\text{As(V)}$ であった<sup>5)</sup>。銅は全試料について原子吸光分析法の検出限界( $0.01\text{mg/l}$ )以下であった。温泉水の湧出状況や泉質に関係すると考えられる断層は、秋山の報告(第1図)に一部加筆して第2図に示した<sup>3)</sup>。

## 3. 奥飛驒の地質概況

本地域は古生層や結晶片岩類を主とする古期岩層と中生界の手取統及びこれらを覆う中生代白亜紀系の濃飛流紋岩類と第四紀の火山岩などからなる。古期岩層は飛驒外縁構造帯と美濃帯とに大別される。飛驒外縁構造帯と美濃帯の地質図と採水源泉地点を第1図に示した。

飛驒外縁構造帯はファボンテス石灰岩を特徴とするデボン系の福地層群、石灰岩や碎屑岩からなる石炭系の一谷層群、時代末詳の蒲田結晶片岩類及びこれをとりまいて分布する石炭～二疊系の空山層群(シャールスタイン・チャート・石灰岩・頁岩・砂岩からなる)である。美濃帯は粘板

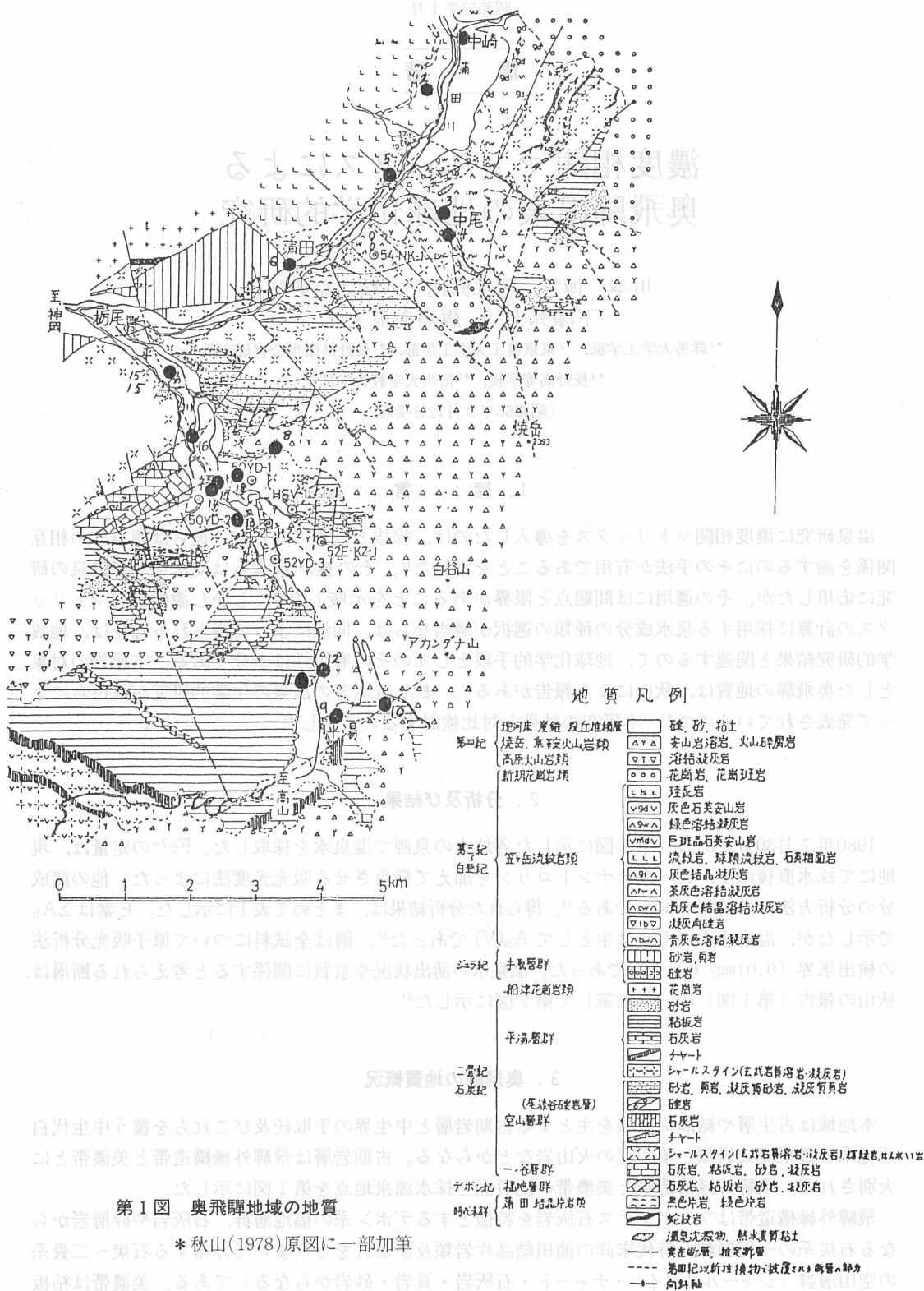
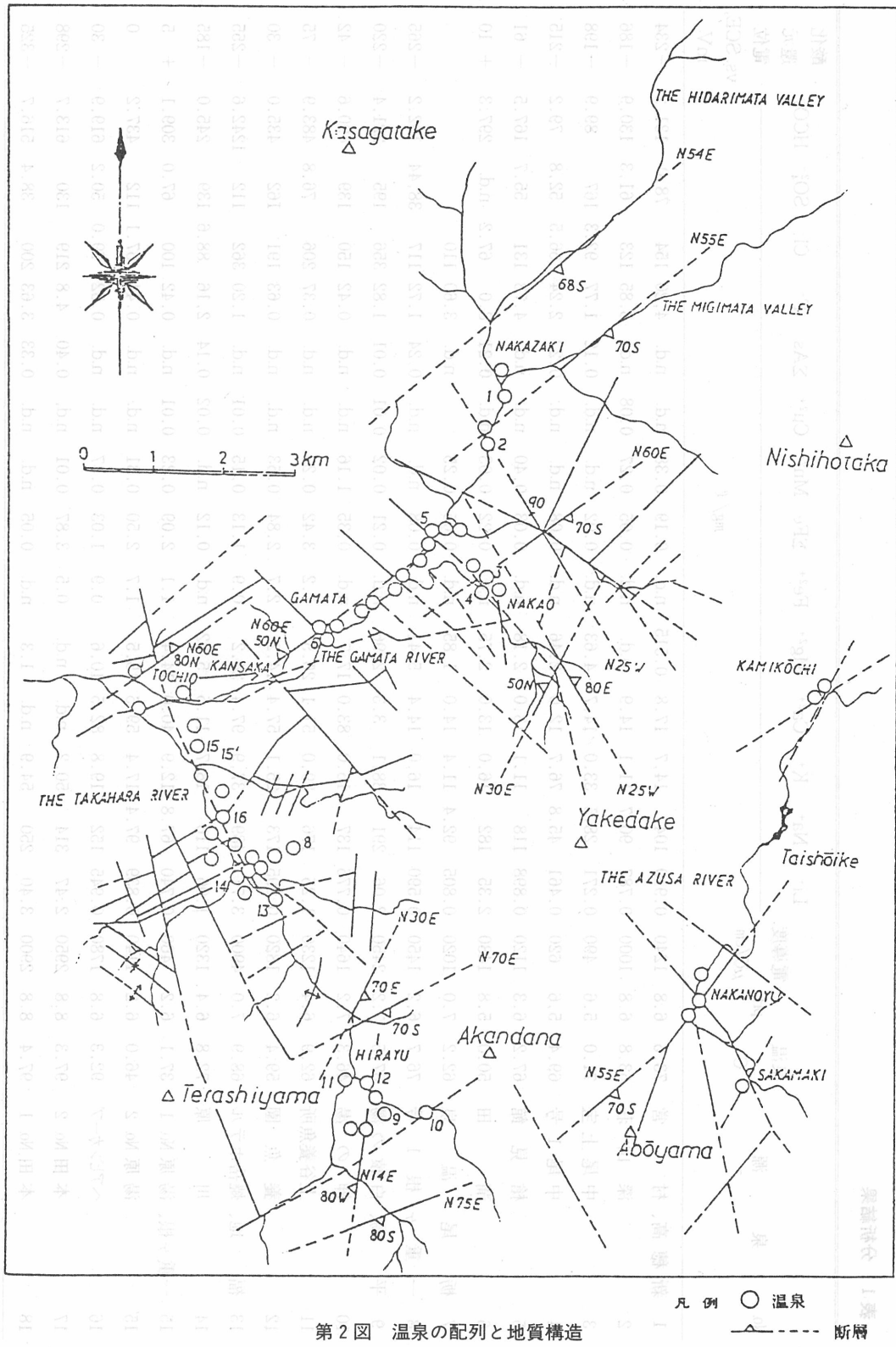


表 1 分析結果

No.	泉 源	泉温 <sup>11</sup> °C	pH $\mu\text{S}/\text{cm}$	電導度 $\mu\text{S}/\text{cm}$	mg/l										vs. SCE, mV			
					Li <sup>+</sup>	Na <sup>+</sup>	K <sup>+</sup>	Ca <sup>2+</sup>	Mg <sup>2+</sup>	Fe <sup>2+</sup>	ΣFe	Mn <sup>2+</sup>	Cu <sup>2+</sup>	ΣAs	F <sup>-</sup>	Cl <sup>-</sup>	SO <sub>4</sub> <sup>2-</sup>	HCO <sub>3</sub> <sup>-</sup>
1	新穂高、村 営	73.6	6.8	1240	0.919	104	14.7	17.8	0.515	n.d.	0.19	0.38	n.d.	4.20	154	78.0	131.2	-234
2	深 山 荘	63.8	6.8	1000	0.787	90.7	11.1	14.9	n.d.	0.05	0.27	0.08	n.d.	3.85	123	61.3	130.9	-186
3	中尾上宝	71.0	5.6	490	0.271	28.5	33.0	14.7	4.63	n.d.	0.02	n.d.	0.12	1.77	92.3	167	89.9	-198
4	中尾1号	69.4	5.6	620	0.461	45.8	76.7	12.0	2.46	n.d.	0.08	n.d.	n.d.	0.22	2.24	66.5	52.8	-215
5	檜 見 館	67.2	6.3	1120	0.898	118	11.1	13.0	2.18	n.d.	0.03	0.40	n.d.	4.73	131	55.7	167.5	-61
6	蒲 田	50.0	5.8	1480	2.35	182	16.0	13.0	2.75	n.d.	0.22	0.03	n.d.	0.21	8.0	67.2	n.d.	297.3
7	柄 尾 温 泉	62.2	7.0	1020	0.805	92.4	11.4	14.0	1.85	n.d.	0.05	0.25	n.d.	3.60	110			
8	一重ヶ根 1号	76.7	6.2	1450	0.590	114	16.0	14.4	5.41	n.d.	0.08	n.d.	n.d.	0.24	1.72	117	38.44	192.2
9	平 湯、白猿の湯	67.5	7.2	2450	2.06	291	38.1	3.3	2.96	n.d.	0.21	0.02	0.01	0.01	1.82	356	195	221.4
10	神 の 湯	46.3	7.2	1640	0.776	137	16.0	83.0	17.7	n.d.	0.35	1.16	n.d.	n.d.	0.42	150	139	490.6
11	上谷養魚所	62.9	6.4	1230	1.25	176	29.0	51.1	25.5	1.2	3.42	0.23	n.d.	n.d.	0.37	206	76.8	483.9
12	養 魚 園	59.4	6.2	1820	0.995	173	25.1	57.4	14.2	2.7	2.84	0.53	n.d.	n.d.	0.63	191	162	435.0
13	福 地、焼岳ホテル	68.9	7.0	4900	3.71	489	37.9	97.4	24.2	0.9	1.13	0.15	0.01	n.d.	1.20	362	112	1242.6
14	川 原	72.8	6.4	1320	1.06	116	18.7	11.5	5.32	n.d.	0.12	n.d.	0.02	0.14	2.16	88.6	139	245.0
15	一重ヶ根、湯原 No. 1	37.1	6.2	460	0.740	67.8	12.9	40.0	14.4	1.1	2.09	0.23	0.01	n.d.	0.42	100	67.0	309.1
15'	湯原 No. 2	46.0	6.2	1140	0.839	97.4	17.4	59.5	15.5	1.7	2.50	0.31	n.d.	n.d.	0.44	57.1	112	437.2
16	～アビンカーパ	92.3	6.8	1780	0.945	152	19.8	82.5	10.6	0.9	1.03	0.37	n.d.	n.d.	0.52	79.0	50.2	619.9
17	本田 No. 2	97.3	8.8	2950	2.47	314	50.2	n.d.	n.d.	0.5	3.87	0.01	n.d.	0.40	4.8	219	130	613.7
18	本田 No. 1	97.4	8.8	2900	3.40	250	54.9	n.d.	1.3	n.d.	0.05	n.d.	n.d.	0.33	3.63	200	38.4	516.7



岩、チャート、石灰岩を主とする二疊系の平湯層群からなる。

ジュラ紀～白亜紀堆積物の手取続は栃尾～神板にかけて蒲田川流域に分布し、白亜系火山岩類の笠ヶ岳流紋岩、溶結凝灰岩、流紋岩、花崗斑岩などは、主として新穂高地域に分布する。第四紀火山岩類は安山岩、溶結凝灰岩、火碎流、泥流からなり、焼岳週辺の古生界や笠ヶ岳流紋岩を被覆して広く分布する。なお、地質層序の概要は第1図凡例の順である。

本地域の諸断層は秋山原図(1978、第1図)に筆者らの確認したもので、重複しない断層を追記して第2図に示した。主な断層の方向は北々東～南々西(飛騨外縁構造帯の伸の方向)と、これにはほぼ直交する方向とに大別される。

源泉は主として、(1)飛騨外縁構造帯の中に分布し、しかも前記した二方向の諸断層に沿っている。(2)平湯温泉群は前者とは全く異なる地質を示す古生層美濃帶の平湯層群に分布する。すなわち、(3)飛騨外縁構造帯は飛騨変成帯をとりまき、美濃帶との境界をなす構造帯と位置づけられるが、近年はこの外縁構造帯の日本列島地質構造発達史の地質学的位置とその意義は注目され、これが日本列島の中で最古の先三疊紀の島弧～海溝系であり、しかも当時の火山活動帯であった所でもある。また、(4)この地域とその北部地域の第四紀における隆起量は1,650mで、日本で最も異常に隆起した所である。(5)飛騨外縁構造帯と美濃帶平湯層群に打たれた試錐から、前者の温度勾配は浅所で大きく、一定の深度以下では極めてゆるくなる対流型の熱構造であるが、後者では孔底までほぼ一定の温度勾配(15～20°C/100m)がつづく伝導型の熱構造である(1978、秋山)。

本地域の高温泉は前述(1)～(5)の如き特異な地質条件下にあるが、焼岳火山の影響を多分にうけている温泉である。

#### 4. 考 察

栃尾温泉No.7は、新穂高槍見館No.5の引水であるので、以下の考察では除外した。濃度相関マトリックスの計算方法は、すでに本誌に紹介されているので<sup>1)</sup>、結果のみを表にまとめた。なお、符号判定基準はM=1.3としてマトリックスを作成した。温泉水は雨水起源の水が地下岩石と接触相互作用して地表に湧出したもので、その含有成分のうち、地下の地質環境を反映するのは、全試料水中に普遍的に溶存する陽イオン  $\text{Li}^+$ ,  $\text{Na}^+$ ,  $\text{K}^+$ ,  $\text{Ca}^{2+}$  及び  $\text{Mg}^{2+}$  の相互濃度比であるとして、濃度相関マトリックスを作成した。しかし、 $\text{Li}^+$ については、マグマ発散物からの寄与も否定できないので<sup>2)</sup>、前記5成分をもとに得られた表2の結果から、各泉源間の相関関係を論ずる際には注意する必要がある。表3に示した濃度相関マトリックスは、マグマ発散物起源に関連していると考えられる  $\text{Li}^+$ ,  $\text{F}^-$ ,  $\text{Cl}^-$ ,  $\text{HCO}_3^-$  及び  $\text{SO}_4^{2-}$  の5成分を用いて計算した結果である。この場合にも、留意すべき問題点は、例えば  $\text{F}^-$  の起源として岩石から地下水への溶出を否定できないことである<sup>3)</sup>。しかし、これらの問題が濃度相関マトリックスの地球化学的応用のすべてを損うものではなく、同法を用いた泉源間の相互関連性に関する考察は大局的に重要な結論をもたらす。

表2から、泉源No.1, 2, 5及び9は相関関係があると判断され、とくに前3者の地質は手取層でかつ頁岩に由来する  $\text{Mn}^{2+}$  を含有している。No.6も手取層であるが、その下に船津花崗岩やシャーレスティンなどが分布している。No.5と6の高度な相関関係は(表2)No.6に最も近い泉源がNo.5であるとともに両者に共通な地層手取層に起因しているとして説明できる。しかし、表2で同じ手取層である例えばNo.2とNo.6に相関関係がない。これは、No.6の温泉水泉質に対する手取層の寄与が比較的小さく、船津花崗岩が関係するためであると解釈され、実際にNo.6では  $\text{Mn}^{2+}$  含量が低く、この地域の  $\text{Mn}^{2+}$  の起源を手取層に求めるならば、上記の推定は妥当である。

表2 濃度相関マトリックス ( $Z_{kl}$ )

No.	1	2	3	4	5	6	8	9	10	11	12	13	14	15'	16	17	18
1	1.0																
2	0.6	1.0															
3	0.1	0.1	1.0														
4	0.2	0.1	0.2	1.0													
5	0.3	0.4	0.1	0.2	1.0												
6	0	0	0.1	0.2	0.4	1.0											
8	0.2	0.2	0.1	0.2	0.2	0.1	1.0										
9	0.5	0.3	0.1	0.1	0.1	0.1	0.1	1.0									
10	0.2	0.1	0.2	0.1	0.2	0.1	0.2	0.3	1.0								
11	0.2	0.2	0.4	0.1	0.1	0	0.2	0.3	0.5	1.0							
12	0.1	0.1	0.3	0.2	0	0.1	0.3	0.2	0.4	0.5	1.0						
13	0.2	0.2	0.1	0.6	0.3	0.2	0.2	0.1	0.1	0.2	0.3	1.0					
14	0.3	0.2	0.1	0.3	0.3	0.1	0.5	0.3	0.1	0.5	0.1	0.3	1.0				
15	0.2	0.2	0.6	0.1	0	0.1	0.1	0.1	0.4	0.4	0.2	0.1	0.4	1.0			
15'	0.3	0.1	0.6	0.2	0.1	0.1	0.1	0.2	0.6	0.6	0.5	0.2	0.3	0.8	1.0		
16	0.2	0.1	0.1	0.1	0.2	0	0.4	0.3	0.6	0.3	0.6	0.3	0.2	0.2	0.6	1.0	
17	0.3	0.2	0.1	0.2	0.1	0	0.1	0.3	0.1	0.3	0.2	0.1	0.3	0.2	0.3	0.3	1.0
18	0.2	0.1	0.1	0.2	0.1	0.1	0	0.1	0.1	0	0	0	0.1	0.3	0.2	0.1	1.0

採用成分: Li<sup>+</sup>, Na<sup>+</sup>, K<sup>+</sup>, Mg<sup>2+</sup>, Ca<sup>2+</sup>表3 濃度相関マトリックス ( $Z_{kl}$ )

No.	1	2	3	4	5	6	8	9	10	11	12	13	14	15'	16	17	18
1	1.0																
2	1.0	1.0															
3	0.2	0.2	1.0														
4	0.8	0.6	0.2	1.0													
5	0.6	0.8	0.2	0.6	1.0												
6	0.2	0.2	0.1	0.2	0.1	1.0											
8	0.3	0.2	0.1	0.3	0.4	0.1	1.0										
9	0.4	0.3	0.1	0.3	0.2	0.1	0.2	1.0									
10	0.1	0.1	0	0.2	0.3	0.1	0.1	0.1	1.0								
11	0.2	0.3	0.1	0.1	0.3	0	0.5	0.1	0.3	1.0							
12	0.1	0.2	0.1	0.2	0.2	0	0.3	0.2	0.7	0.4	1.0						
13	0	0	0.2	0	0.1	0.1	0.2	0.1	0.3	0.4	0.2	1.0					
14	0.2	0.2	0.2	0.3	0.1	0	0.1	0.2	0.2	0.1	0.2	0.2	1.0				
15	0.3	0.2	0.2	0.3	0.1	0	0.3	0.4	0.4	0.5	0.6	0.4	0.1	1.0			
15'	0	0	0.1	0.1	0.1	0	0.1	0.1	0.6	0.3	0.4	0.1	0.3	0.4	1.0		
16	0.1	0.1	0.1	0.1	0.1	0	0.1	0.1	0.3	0.2	0.2	0.4	0.1	0.2	0.6	1.0	
17	0.2	0.1	0.2	0.2	0.2	0	0.5	0.2	0.2	0.3	0.1	0.3	0.6	0.3	0.2	0.3	1.0
18	0.1	0.1	0.1	0.1	0.2	0.1	0.2	0.2	0.1	0.1	0	0	0.5	0.1	0.1	0.3	1.0

採用成分: Li<sup>+</sup>, F<sup>-</sup>, Cl<sup>-</sup>, SO<sub>4</sub><sup>2-</sup>, HCO<sub>3</sub><sup>-</sup>

No.1, 2及び5については泉温に比例して電導度が増大するが、No.6は泉温が低いにもかかわらず電導度が高い。この現象は花崗岩の存否によると説明できる。すなわち、花崗岩は風化作用を受けやすく比表面積が大きくなつており水の浸透性が大きいことから、花崗岩が存在するNo.6では地下水への岩石成分の溶出濃度が高いと考えられる<sup>7)</sup>。また、No.6は  $\text{Li}^+/\text{Na}^+=1.3 \times 10^{-2}$  で奥飛騨温泉群で最高値であるとともに、 $\text{F}^-$  濃度も最も高い。これは船津花崗岩がペグマタイト鉱物(雲母類)をともなうためである。表3の結果によれば、No.6と相関関係のある泉源はなく、 $\text{SO}_4^{2-}$  濃度が検出限界以下であることでも特異的である。No.5と6の相関関係は岩石起源の成分を考慮した場合にのみ成立することから(表2)、新穂高温泉の  $\text{Mn}^{2+}$  は手取層構成地層頁岩層に帰すべきであるとの結論が得られる。

前報では<sup>2)</sup>、下呂温泉の化学的研究から、Asの起源をマグマ発散物に求めたが、No.6の温泉水はAs濃度が高い。そこで、 $\Sigma\text{As}$ ,  $\text{Cl}^-$ ,  $\text{F}^-$ ,  $\text{SO}_4^{2-}$  及び  $\text{HCO}_3^-$  を用いて濃度相関マトリックスを作成し、表4にその結果を示した。この場合にも、No.6と相関関係をもつ泉源はない。No.6でのAsの起源は、 $\text{Li}^+$  及び  $\text{F}^-$  と同様に、マグマ発散物に加えて、花崗岩体縁辺部の金属鉱床に求めたが、これについては  $\text{Cl}^-$  との関連で後述する。

表4 濃度相関マトリックス ( $Z_{kl}$ )

No.	3	4	6	8	14	17	18
3	1.0						
4	0.1	1.0					
6	0	0.2	1.0				
8	0.2	0.1	0.3	1.0			
14	0.4	0.2	0.1	0.1	1.0		
17	0.2	0.3	0.1	0.4	0.5	1.0	
18	0.3	0.1	0.1	0.3	0.5	0.6	1.0

表3からNo.1, 2, 4, 5及び9の泉源群に相関関係が認められ、As高含量の泉源No.4を除外すれば、この関係は表2の結果と一致する。すなわち、これら泉源群での泉質に対する地下岩石からの寄与とマグマ発散物からのそれが同じであることを、濃度相関マトリックスは示唆している。しかし、この推定は化学的考察の結果とは一致しない。例えば、チャート帯にある泉源No.9をもとにして表2をみると、同泉源と相関関係が認められるのは、No.1である。飛騨山系の温泉について、湧出地質の影響は  $(\text{Na}^++\text{K}^+) / (\text{Mg}^{2+}+\text{Ca}^{2+})$  値に認められ、その値は花崗岩からの温泉で大きく、堆積層のものでは小さいとされている<sup>4)</sup>。 $(\text{Na}^++\text{K}^+) / (\text{Mg}^{2+}+\text{Ca}^{2+})$  値を計算すると、No.1で10.5、No.9で68.1である。この差異は両泉源間に温泉水の泉質に影響する地下地質環境の違いがあることを示し、このことは濃度相関マトリックスのみからの考察に問題があることを提示している。

No.3と4は、塩基性岩を基盤とし、うすく流紋岩をのせている。また、これを新期花崗岩が貫入している。古生層シャールスタイルンがあり、泉質に対して重要な寄与をする。表2によれば、No.3と最も高度な相関関係にある泉源は、No.15と15'である。No.15と15'はシャールスタイルンと砂岩、頁岩層の接解部に位置する泉源で、No.3, 15及び15'の相関関係はシャールスタイルンに関連していると解される。No.15と15'の温泉水に含まれる  $\text{Mn}^{2+}$  は、No.3で検出されていない。すなわち

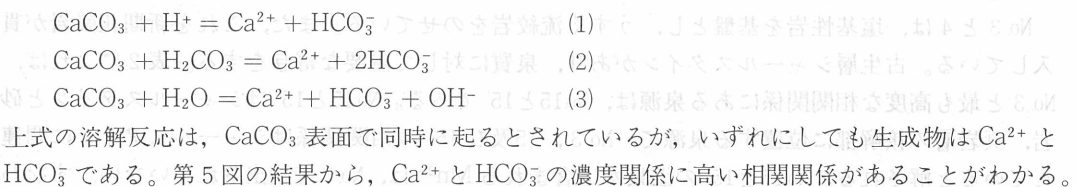
ち、 $Mn^{2+}$  の起源はシャーレスタイルでないことがわかる。一方、No.15 と 15' をもとにして、表 2 の結果をみると、No.3, 10, 11, 12 及び 16 の泉源群に高い相関関係がある。No.3 の温泉水のみが、これらのうちで As を含有するので、これを除くと、他の泉源は共通して  $Mn^{2+}$  を湧出している。No.10, 11, 12 及び 16 は、古生層粘板岩であるが、No.16 には石灰岩もみられる。これらの関係から、 $Mn^{2+}$  は古生層粘板岩、石灰岩起源であると結論される。

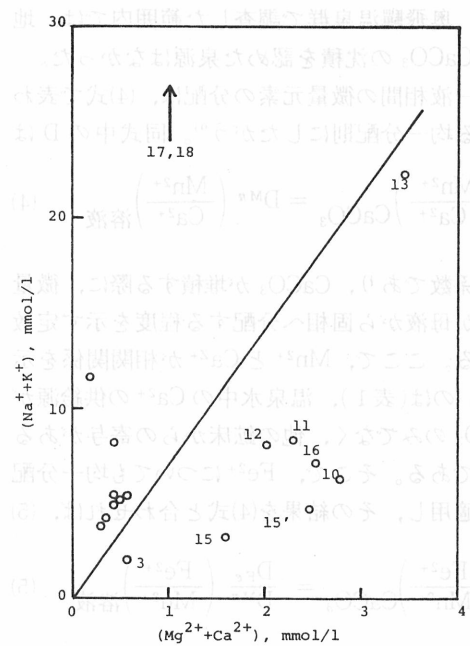
表 1 の分析結果で、 $Na^+ < K^+$  の濃度関係があるのは、No.3 と 4 のみである。これは貫入した新期花崗岩とりわけカリ長石の存在によるためと考えられ、その泉質に対する影響は、No.4 の方が大きい。理由は、 $Na^+/K^+$  比が前者の方が大であること、また、 $(Na^++K^+)/(Mg^{2+}+Ca^{2+})$  値は No.3 で 5.21, No.4 は 9.54 であるので、坂田らの考察からも裏付けられるためである<sup>4)</sup>。Cl<sup>-</sup> 濃度はマグマ発散物の温泉水成分への寄与を示す尺度であるが、その寄与は No.3 の方が No.4 より大である。しかし、Li<sup>+</sup>/Na<sup>+</sup> 値、F<sup>-</sup> 及び As 濃度は No.4 の方が高い。すなわち、No.4 については、Li<sup>+</sup>, F<sup>-</sup> 及び As の起源に花崗岩及びそれにともなう金属鉱床が関係していることは否定できない。地質調査では両泉源は同一地質条件と考えられるが、濃度相関マトリックス（表 2 及び 3）によれば No.3 と 4 の泉源間には相関関係がない。

表 3 によれば、No.13 と相関関係が認められる泉源は、No.11, 15, 16、あえて記すなら No.17 で、これらはすべて平湯川に沿う断層とに位置し、マグマの泉質に対する影響は、断層と関係していることを示唆する重要な知見が濃度相関マトリックスから得られる。また、表 3 より No.8, 14, 17 及び 18 に相関関係があり、福地付近の温泉群を代表する泉源は No.17 及び 18 で、地質調査からもこれらの泉源は同一地質構造線上にある。No.17 及び 18 の泉温はいずれも 97°C 以上であり、福地付近の温泉群の熱源は熱水起源と推定される。No.8, 14, 17 及び 18 は As を含有し、 $Mn^{2+}$  は検出されていない。したがって、福地付近の温泉群の As の起源はマグマ発散物と考えられる。

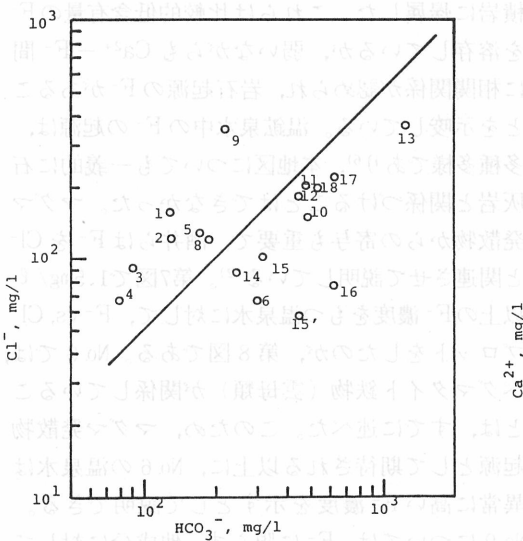
以上、濃度相関マトリックスをもとにして、泉源間の相互関連性について考察してきたが、問題点がある。このため、溶存成分の相互関連性を化学的に考察する必要がある。

$(Na^++K^+)/(Mg^{2+}+Ca^{2+})$  値が湧水の地質環境を示す尺度として有用であることは、すでに紹介した<sup>4)</sup>。この関係を、表 1 の分析結果に適用したのが第 3 図で、同図中の境界を示す直線は文献によった<sup>4)</sup>。直線の右下に位置する泉源は、それらの地質が堆積岩に分類される。しかし、例えば、平湯温泉群はチャート、頁岩、堆積岩中にあり、熱源からの伝導地熱帯を通過した地下水が  $Mn^{2+}$  を溶解したと考えられるが、No.9 は第 3 図の結果によれば花崗岩体に帰せられる。 $Mn^{2+}$  の起源をチャート中の層状マンガン鉱床に求めた場合、チャート帶にある No.9 の温泉水の  $Mn^{2+}$  濃度が他の温泉に比較して小さいので、説明できない。そこで、 $Mn^{2+}$  は海水または湖水中で堆積した石灰岩に由来するとして説明する。この場合、温泉水中の炭酸濃度は、マグマ発散物中の  $CO_2$  に加えて石灰岩から溶出してくる  $CO_3^{2-}$  や  $HCO_3^-$  があるので、石灰岩が関与しない温泉に比較して高くなる。温泉水成分濃度へのマグマ発散物からの寄与の尺度として Cl<sup>-</sup> を採用し、 $HCO_3^-/Cl^-$  値の高いグループと低い泉源群に分けられる。前者のグループのうち、第 3 図で堆積岩に帰属される泉源と一致するのは、No.10, 11, 12, 13, 15, 15' 及び 16 である。CaCO<sub>3</sub> の溶解機構は pH 2 ~ 7 で次式にしたがう<sup>8)</sup>。

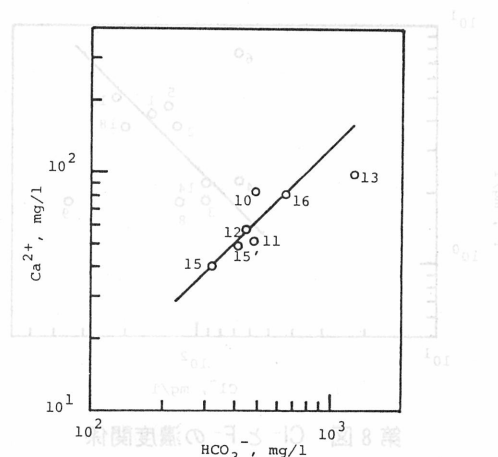




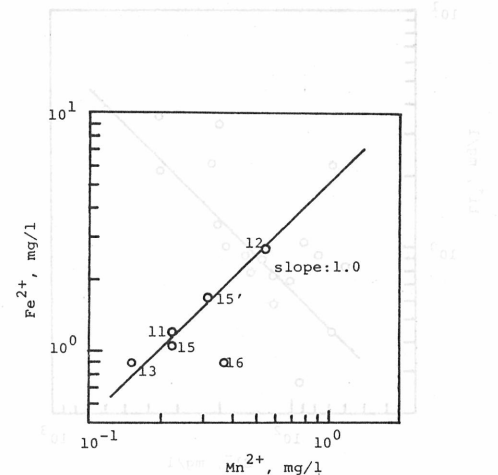
第3図 奥飛驒温泉群の  $(\text{Mg}^{2+}+\text{Ca}^{2+})$  と  $(\text{Na}^{+}+\text{K}^{+})$  の関係



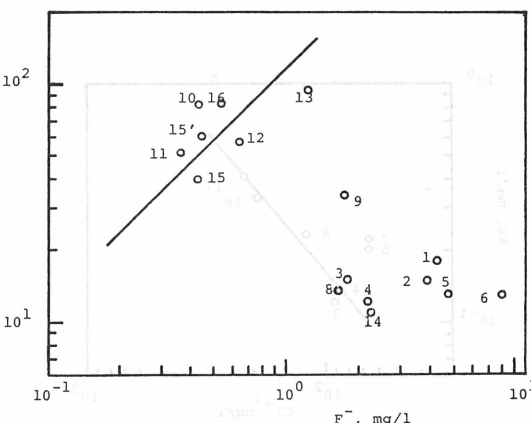
第4図  $\text{HCO}_3^-$  と  $\text{Cl}^-$  の濃度関係



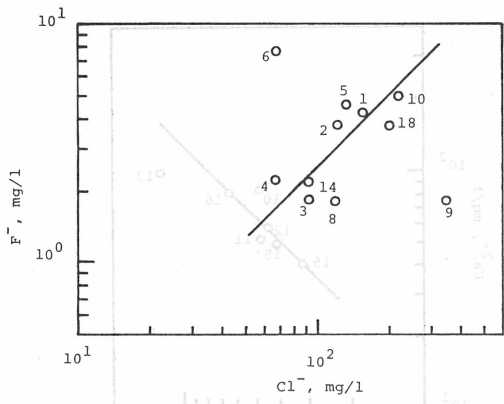
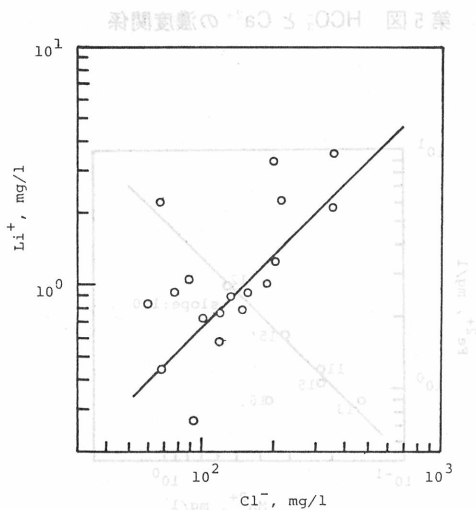
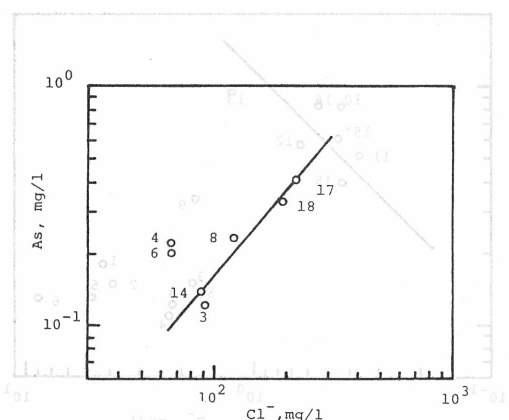
第5図  $\text{HCO}_3^-$  と  $\text{Ca}^{2+}$  の濃度関係



第6図  $\text{Mn}^{2+}$  と  $\text{Fe}^{2+}$  の濃度関係



第7図  $\text{Ca}^{2+}$  と  $\text{F}^-$  の濃度関係

第8図 Cl<sup>-</sup>とF<sup>-</sup>の濃度関係第9図 Cl<sup>-</sup>とLi<sup>+</sup>の濃度関係第10図 AsとCl<sup>-</sup>の濃度関係

一方、奥飛騨温泉群で調査した範囲内では、地表でCaCO<sub>3</sub>の沈積を認めた泉源はなかった。

固一液相間の微量元素の分配は、(4)式で表わされる均一分配則にしたがう<sup>9</sup>。同式中のDは

$$\left( \frac{Mn^{2+}}{Ca^{2+}} \right)_{CaCO_3} = D^{Mn} \left( \frac{Mn^{2+}}{Ca^{2+}} \right)_{溶液} \quad (4)$$

分配係数であり、CaCO<sub>3</sub>が堆積する際に、微量元素が母液から固相へ分配する程度を示す定数である。ここで、Mn<sup>2+</sup>とCa<sup>2+</sup>が相関関係を示さないのは(表1)、温泉水中のCa<sup>2+</sup>の供給源がCaCO<sub>3</sub>のみでなく、他の鉱床からの寄与があるためである。そこで、Fe<sup>2+</sup>についても均一分配則を適用し、その結果を(4)式と合わせれば、(5)

$$\left( \frac{Fe^{2+}}{Mn^{2+}} \right)_{CaCO_3} = \frac{D_{Fe}}{D^{Mn}} \left( \frac{Fe^{2+}}{Mn^{2+}} \right)_{溶液} \quad (5)$$

式が得られる。CaCO<sub>3</sub>を堆積した母液中のFe<sup>2+</sup>/Mn<sup>2+</sup>値が一定の場合、(5)式の右辺は定数となるので、log Fe<sup>2+</sup> vs log Mn<sup>2+</sup>のプロットは傾き1.0の直線になる(第6図)。第6図の結果から、Fe<sup>2+</sup>/Mn<sup>2+</sup>=5.0が得られるが、この値は炭酸塩岩中の存在度より求めたFe/Mn=3.5に近い<sup>10</sup>。

石灰岩は、F<sup>-</sup>との関連性が高い<sup>11</sup>。第7図に示した泉源群のうちNo.10, 11, 12, 13, 15, 15'及び16はすでにそれらの地質環境を第3図で堆積岩に帰属した。これらは比較的低含有量のF<sup>-</sup>を溶存しているが、弱いながらも Ca<sup>2+</sup>–F<sup>-</sup>間に相関関係が認められ、岩石起源のF<sup>-</sup>があることを示唆している。温鉱泉水中のF<sup>-</sup>の起源は、多種多様であり<sup>6</sup>、本地区についても一義的に石灰岩と関係づけることはできなかった。マグマ発散物からの寄与も重要で、酒井らはF<sup>-</sup>をCl<sup>-</sup>と関連させて説明している<sup>12</sup>。第7図で1.5mg/l以上 のF<sup>-</sup>濃度をもつ温泉水に対して、F<sup>-</sup> vs. Cl<sup>-</sup>プロットをしたのが、第8図である。No.6では、ペグマタイト鉄物(雲母類)が関係していることは、すでに述べた。このため、マグマ発散物起源として期待される以上に、No.6の温泉水は異常に高いF<sup>-</sup>濃度を示すとして説明できる。No.9については、F<sup>-</sup>に限らず、他成分に対しても、理由不明な異常性がある。そこで上記2泉

源 (No. 6, 9) を除外すれば,  $F^-$  と  $Cl^-$  は相関関係を示し (第 8 図), 酒井らの記述にしたがえば<sup>12)</sup>,  $F^-$  の起源はマグマ発散物であると推定される。

表 1 の分析結果より得られた  $Li^+/Na^+ = (8.5 \pm 2.3) \times 10^{-3}$  は, 火成岩のそれ ( $7.1 \times 10^{-4}$ ) に比較して<sup>10)</sup>, 非常に高い値である。 $Li^+/Na^+$  値をもとにした高松らの分類によれば<sup>13)</sup>, 奥飛騨温泉群は火山性に属す。 $Li^+$  vs.  $Cl^-$  プロットは, 正の相関関係を示し (第 9 図), その相関性は新穂高の 4 泉源及び平湯温泉群で高く, この地域で  $Li^+/Cl^- = 6.5 \times 10^{-3}$  である。したがって,  $Li^+$  の起源は  $Cl^-$  との関連性から, 基本的にマグマ発散物としてよい。

以上の諸考察から, 表 3 の濃度相関マトリックスから得られる知見は, マグマ発散物が関係したものであるから, 泉質に対する陰イオンの役割りに関するものであると言える。マグマ発散物は,  $HCl$ ,  $H_2S$ ,  $SO_2$  あるいは  $CO_2$  など電気的中性化合物で, 地下水へ溶解して, 溶液中でそれら化学形を変化する。例えば,  $CO_2$  は(6)式によって電離する:



(6)式の電離平衡は, 地下の温度と圧力によって規制される。このようなマグマ発散物の溶液内副反応は, 表 3 の結果を解釈する際の留意されるべき問題点であるとともに, 濃度相関マトリックス作成の採用成分選定に注意しなければ, 泉源間の相互関連性の論議が本質的要因を反映しないことになる。すでに前述したが, 表 3 から, 泉源 No. 1, 2, 4, 5 及び 9 は相関関係を示し, さらに No. 9 は No. 15 と, また No. 15 は 10, 11, 12 及び 13 との相関関係が高いなど, それぞれの泉源について相関性を調べると, 全泉源群に対して相互に関連性があることから, 燃岳火山に関係したマグマは同種同質のものであると推定される。しかし As に関する情報は得られなかった。群馬県下の温泉水中の As 含量は,  $Cl^-$  濃度と高い相関関係を示す<sup>14)</sup>。そこで As vs.  $Cl^-$  プロットを奥飛騨温泉について示したのが第 10 図である。第 10 図から, As と  $Cl^-$  は高度な相関関係にある。しかし, 泉源 No. 4 及び 6 の温泉水中の As は, その濃度が異常に高い。その理由は, すでに述べたように, 金属鉱床が関係しているためである。

以上, 濃度相関マトリックスを中心に, 泉源間の相互関連性について検討した結果,

(1) マトリックス作成に採用する泉水成分の種類の選定が重要で, 適切な種類の成分の採用によっては, マトリックスが示す相関性は地質環境を反映し得る。

(2) 陰イオン成分を中心としたマトリックスについては, 副反応などのために, 結果の解釈に注意すべきであることが判った。

(3) さらに, マトリックスからみた相関関係は, あくまでも見かけ上のそれであるから, 地質学, 地球化学的諸考察を経て結論を出すべきであることなどの知見を得た。

## 5. 謝 辞

三井金属鉱業株式会社神岡鉱業所の秋山伸一氏からは, 本誌に発表された地質図 (1978) の原図使用の便と有益な助言を賜わった。また, 群馬大学工学部赤岩英夫教授には, 本稿の英文要旨作成に際して御指導を頂いた。記して感謝の意を表わす。信州大学教育学部学生三沢浩, 加々美隆, 東京農工大学学生今村洋一郎, 岩船栄一郎, 及び群馬大学学生岩上保宏の諸君の協力に感謝する。

## 文 献

- 1) 綿抜邦彦, 高野穆一郎(1974): 多成分相関マトリックスを用いる温泉水の相互関係の解析, 温泉科

- 25), 26.) 酒井昭子(阿多漢) : 本多利行(川本博士)による下呂温泉の水化学(1979)。高  
2.) 川本博, 阿部修治, 松沢克典, 下澤秀夫, 飯島南海夫(1982) : 濃度相関マトリックスによる下呂温  
泉群の相互関連性の検討, 温泉科学, 33, 1, 25-35。  
3.) 秋山伸一(1978) : 奥飛騨の地質, 温泉科学, 29, 135。  
4.) 坂田朗, 中村喜一, 国分信英(1972) : 飛騨山脈の温泉の化学的研究, 温泉科学, 23, 125。  
5.) 川本博, 阿部修治, 飯島南海夫(1982) : 温泉水中のヒ素(III, V)の分別定量, 分析化学, 31, 341。  
6.) 鈴木勲子(1979) : アルカリ性鉱泉中のフッ素, 地球化学, 13, 25。  
7.) 高松信樹, 下平京子, 今橋正征, 吉岡龍馬(1980) : 花崗岩地帯湧水の化学組成に関する一考察, 地  
球化学, 14, 69。  
8.) Plummer L. N., Wigley T. M. L. and Parkhurst D. L. (1978) : The kinetics of calcite dissolution  
in  $\text{CO}_2$ -water systems at 5° to 60°C and 1.0 atm  $\text{CO}_2$ , Am. J. Sci., 278, 179.  
9.) 一国雅巳(1978) : 現代鉱床学の基礎(立見辰雄編), p. 119, 東京大学出版会。  
10.) Mason B. 著, 松井義人, 一国雅巳訳(1981) : 一般地球化学, p. 218, 岩波書店。  
11.) Akaiwa H. and Aizawa S. (1979) : Fluorine Contents of permian carbonate rocks in central Japan,  
Chem. Geol., 27, 157.  
12.) 酒井幸子, 氏家淳雄, 木崎喜雄(1982) : 群馬県下の温泉水中のフッ素について, 温泉科学, 33, 9.  
13.) 高松信樹, 今橋正征, 下平京子, 神谷宏(1980) : 食塩泉のリチウム, 地球化学, 14, 35.  
14.) 酒井幸子, 滝島常雄(1975) : 群馬県下の温泉水のヒ素含量, 温泉科学, 26, 13。  
その他地質概略参考文献

秋山伸一(1978) : 富山県の温泉と地質, 川本博士による下呂温泉の水化学(1979)。高  
29, 135。  
湯原浩二(1981) : 岐阜県焼岳地域放熱量調査報告, 地質調査所月報, 32, 293。

## 結論

### 総論

川本博士は、温泉科学の開拓者として、多くの研究業績を残すとともに、多くの後進の育成に貢献した。